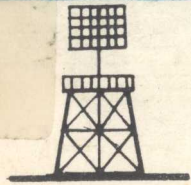




飞机通讯
与
导航天线



V243
1002

飞机通讯与导航天线

〔苏〕 A·A·鲍 尔 包 特

П·Я·伊 尔 尼 茨 著

И·И·库波利亚诺夫



航空工业部第六〇一研究所

481204

飞机通讯与导航天线

*

航空工业部第六〇一研究所
(内部发行)

*

一九八二年十二月

前　　言

随着航空技术和电子技术的迅速发展，机载天线的数量不断增加，而且对机载天线的要求也越来越高，这就迫使天线设计师们不断寻求机载天线合理布局和最佳设计方案。

目前国内关于飞机天线方面的书籍出版较少。为了适应机载天线技术的发展和科研、生产的需要；我们抓紧时间翻译出版“СВЯЗНЫЕ И НАВИГАЦИОННЫЕ АНТЕННЫ САМОЛЕТОВ”一书。该书搜集七十年代以来的美、苏、英等国家飞行器通讯、导航与着陆系统天线的结构型式、安装部位、特性曲线、参数测试方法以及电磁兼容性等有关资料，书末附有参考文献目录索引。同时，该书不仅作了必要的理论叙述，而且还提供了实验数据。因此，它是一本从事飞机天线工程技术人员的有益参考书。

本书由石长山、冯家珍翻译，由丁志超、郑金城校对。另外，王仲山初期也参加了一段翻译工作。

本书在出版当中，曾蒙六一〇所有关领导和同志们的热情关怀和支持，特此表示感谢！

由于我们水平所限，书中不妥之处和错误，敬请读者不吝指正。

译者

一九八二年十二月

内 容 提 要

本书共分四章：第一章飞行器通讯与导航天线特点；第二章远距离通讯天线；第三章近距离通讯天线；第四章导航与着陆无线电系统天线。

本书对象是飞机通讯专业、导航专业、飞机天线设计、飞机总体设计的工程技术人员，也可供高等院校有关专业师生参考。

飞机通讯与导航天线

[苏] A · A · 鲍 尔 包 特
Л · Я · 伊 尔 尼 茨
И · И · 库 波 利 亚 诺 夫

目 录

前言

第一章 飞行器通讯与导航天线特点

一、对机载天线的要求	(1)
二、机载天线主要电参数	(4)
三、机载天线参数测量的特点	(8)
四、方向图的研究	(12)
五、天线方向系数和增益系数的测量	(15)
六、驻波比和输入阻抗的测量	(21)
七、天线有效长度和效率的测量	(22)
八、天线在飞行器上的配置	(24)
九、机载天线电磁兼容性	(36)

第二章 远距离通讯天线

一、对高频频段天线参数的要求	(41)
二、刚性线状天线	(43)
三、回线天线	(53)
四、顶馈天线	(56)
五、缺口天线	(80)
六、通过人造地球卫星进行通讯的天线	(103)

第三章 近距离通讯天线

一、对甚高频频段天线参数和配置的要求	(109)
二、底馈鞭状天线	(114)
三、顶馈鞭状天线	(117)
四、印刷天线与复合天线	(124)
五、垂直安定面表面天线	(147)

六、直升机近距离通讯天线的特点 (154)

第四章 导航与着陆无线电系统天线

一、无线电罗盘天线 (160)

二、无线电高度表天线 (181)

三、航向—导航天线 (188)

四、下滑天线 (201)

五、信标接收机天线 (207)

六、飞机无线电测距器天线 (209)

参考文献 (213)

第一章 飞行器通讯与导航

天 线 特 点

一、对机载天线的要求

现代旅客机和大型运输机装备大量无线电设备，其功能与电磁波在周围空间的传播有关，特性以表 2 说明。

表 2

无线电设备 用 途	天 线 数 目	频 带 (兆赫)	射 频 振 荡 大约功率(瓦)	工作状态 接收(Π) 发射(Π_A)
甚高频通讯	2-3	118-136	25	$\Pi+\Pi_A$
高 频 通 讯	2	2-30	125	$\Pi+\Pi_A$
伏尔甚高频导航系统	2-3	112-118 ①	—	Π
下滑接收机	2-3	329-335	—	Π
航向接收机	2-3	108-112	—	Π
信标接收机	2-3	75	—	Π
测 距 器	2	1025-1150	1000 (脉冲状态)	$\Pi+\Pi_A$
近距导航系统	2	726-1001	1500 (脉冲状态)	$\Pi+\Pi_A$

①原文为 108-112 — 译者。

续表

无线电设备 用 途	天 线 数 目	频 带 (兆赫)	射 频 振 荡 大 约 功 率 (瓦)	工作状态 接 收 (II) 发 射 (II _A)
二次雷达	2	1030	1000 (脉冲状态)	II+II _A
自动无线电罗盘	4	0.15-1.8	—	II
远距导航系统	1	0.01-0.1 1.85-1.95	—	II
电传打字机	1	0.11-0.13	—	II
无线电高度表	4	2000 4200-4400	0.5-1	II+II _A
多卜勒导航系统	2	880±50 13325±75	1	II+II _A
气象雷达	1	9376	6000 (脉冲状态)	II+II _A

为了解决飞行中的安全性和正常性，以及保证机载设备工作可靠性问题，飞机上不得不采用两套甚至三套系统，为了备用，采取工作原理不同，但产生相同信息的无线电系统。因为无线电系统的功能是与电磁波的接收和发射有关，现代大型旅客机不得不安装近三十多付天线。而无线电系统的性能在很大程度上是取决于天线的特性和参数。

机外天线要经受大的气动载荷、急剧的温差、大气压剧烈变化、气动加热、飞行器飞行时穿过雨雪区域的侵蚀、热侵蚀、带电和结冰等等。因为天线或是配置在飞机蒙皮表面上或是飞机本身结构的一部分，所以飞机机体对机载弱方向

性天线电参数有重大影响。因此天线性能是由飞行器的形状和尺寸、天线安装位置、激励波长来决定的。

除对电性能要求外，还要根据机载天线的工作条件，提出某些结构和使用方面的要求。与机载天线用途无关的最普通的要求如下：

天线应具有最小的气动阻力。为满足这一要求，天线应制成非突出式。如果天线安装在蒙皮表面上，则其尺寸应为最小，并且是流线型的，而它的突出部分不应有锐边；

天线机械强度应当与给定型别飞行器的使用条件和安装位置相适应，以免在飞行过程中由于过载和振动而破坏天线；

在安装天线时，不应降低飞行器的结构强度。为此，机载天线应设计得具有最小的体积和面积。天线的配置不应该破坏飞行器机体受力构件的完整性；

天线的参数和辐射特性不应随大气压力降低，温度改变，湿度增加和结冰而变化。飞行器在所有飞行状态下，当保证在规定的辐射功率条件下，天线工作时应避免电晕和电击穿；

天线在飞行器上配置应考虑到保持电磁兼容性条件，即天线间相互干扰应最小；

天线的结构和配置的选择应考虑飞行器机体的影响，以便天线安装后电参数和辐射特性处于允许范围内。并且天线应保证空间场分布的已知特性和极化；

机载天线应不易受因静电放电引起的干扰，必要时，天线结构应规定有避雷装置；

机载天线的配置和结构不应给飞行器的机组人员造成不

便，而应保证维护简便。

要满足对机载天线所提出的全部要求，会遇到严重困难。例如在中频和高频范围内的高效率天线，其尺寸应与波长相比拟。但这个条件在规定的范围内是不能满足的，因为机载天线应当有尽可能小的尺寸，同时对天线尺寸的要求也是比较绝对的，并应首先得到满足。

增加机械强度会导致天线重量的增加。但机载天线应具有尽可能轻的重量。这样，要想满足其中一项要求，只好牺牲性别的要求。

正如上面所说，对机载天线的要求是相互矛盾的，因此设计出完全符合上述要求的天线是不可能的。由此在设计机载天线过程中，应寻求不同程度地满足上述要求的折衷方案。

二、机载天线主要电参数

机载天线最重要特性之一是方向图。它通常是指辐射场强与坐标角度之间关系曲线。由于绘制空间方向图困难，采用与飞行器有关的球坐标系所确定的主平面上的方向图（图1-1）。极轴（ $\theta = 0^\circ$ ）垂直于飞机纵轴和机翼平面。方位角 φ 由飞机纵轴算起。

在所引用的坐标系中，下面三个平面认为是主要的：方位平面（ $\theta = 90^\circ$ ）在直角坐标系中与XOY平面重合；纵向子午面（ $\varphi = 0^\circ$ 和 $\varphi = 180^\circ$ ）在直角坐标系中与XOZ平面重合；横向子午面（ $\varphi = 90^\circ$ 和 $\varphi = 270^\circ$ ）在直角坐标系中与YOZ平面重合。有时对主平面采用另外术语——水平面，纵向垂直面，横向垂直面。此时，假设飞机处于水平位置。

任取空间一点 M，其坐标为 r 、 θ 、 φ ，电场强度矢量可以分解成两个分量：子午面上分量 E_θ ，平行于方位面分量 E_φ 。其中第一个分量 E_θ 称为子午分量，第二个分量 E_φ 称为方位分量。这样，在一个工作频率点上，天线就具有六个方向图特性：在每个主平面上，分别构成电场的方位分量方向图和子午分量方向图。

为了估计天线方向特性，引用下列参数：方向系数、增益系数和天线效率。方向系数系指在给定方向上的辐射功率角密度 $P(\theta, \varphi)$ 与在全方向天线辐射功率角密度 $P_\Sigma/4\pi$ 之比

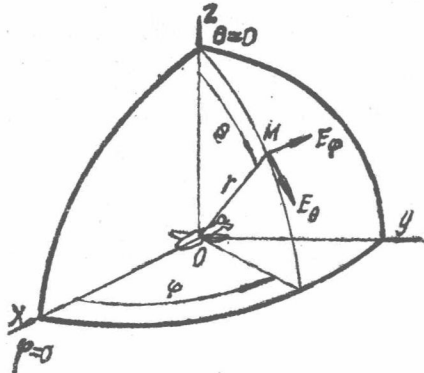


图 1-1 飞机与坐标系的相互位置

$$D(\theta, \varphi) = \frac{4\pi P(\theta, \varphi)}{P_\Sigma}, \quad (1.1)$$

式中 P_Σ —— 天线辐射功率。

增益系数是在观察点场强相同的条件下，无方向性天线输入功率 P ，与试验天线输入功率 P_A 之比，无方向性天线效率取 1：

$$G(\theta, \varphi) = \left(\frac{P}{P_A} \right) E_\theta = E(\theta, \varphi) \quad (1.2)$$

天线效率是当高频信号源输出功率不变时，研究天线在给定点辐射场强 $E(\theta, \varphi)$ 平方的平均值与在空间同一点标准

天线辐射场强 E_s 平方的平均值之比：

$$K_{\vartheta\varphi} = \left[\frac{E^2(\theta, \varphi)}{E_s^2} \right]_{P_s = P_A}^{(1)}$$

利用具有已知参数，其输入阻抗应与馈线波阻抗相匹配的实际天线作为标准天线。

飞行器天线还有其他一些参数。其中最主要的有：效率，有效长度，天线电容和输入阻抗。

天线效率系指辐射功率 P_Σ 与输入功率 P_A 之比：

$$\eta_A = P_\Sigma / P_A. \quad (1.3)$$

天线有效长度 L_d 是当天线取向与波的极化一致时，接收天线输入端的电动势 Θ_A 与电场强度 E 之比：

$$L_d = \frac{\Theta_A}{E}. \quad (1.4)$$

如同其他参数一样，安装在导体平面上的天线有效长度 L_{do} 与安装在飞行器边缘处的同一天线有效长 L_d 是不相同的。对于非对称振子来说， L_d 大于 L_{do} 。为了改变有效长度特性，引入天线延长系数：

$$K_Y = \frac{L_d}{L_{do}}.$$

天线输入阻抗 Z_A 是由天线输入端上的高频电压与馈电流之比来确定的。通常情况下，天线输入阻抗为复数：

$$Z_A = R_A + jX_A.$$

①原书为 $K_{\vartheta\varphi} = \left[\frac{E(\theta, \varphi)}{E_s} \right]_{P_s = P_A}$ ———译者

由输入阻抗的电抗分量 X_A ，可求出天线电容：

$$C_A = \frac{1}{\omega X_A}, \quad (1.5)$$

式中 ω ——角频率。

对中频频段机线天线，电阻分量实际上要小于电抗分量，因此可以认为，对于这种天线，输入阻抗是电抗性的。

在短路情况下，流过天线端子的最大电流可根据下式确定：

$$I_{A_{max}} = \frac{\Theta_A}{X_A}.$$

利用(1.4)和(1.5)式，可得到

$$I_{A_{max}} = \omega E L_d C_A.$$

在此表达式中，引进两个天线参数：天线有效长度 L_d 和天线电容 C_A ，因此天线有效长度与天线电容之积 $L_d C_A$ 有时称为天线效率〔27〕。

如果从能量观点研究中频频段机载天线，则天线储存的无功功率可按下式确定〔9〕

$$P_r = -\omega \frac{C_A \Theta_A^2}{2} = -\frac{\omega E^2}{2} C_A L_d^2.$$

可见中频频段机载天线可作为无功功率振荡器。

有效长度与电容 C_A 平方根之积称为输出系数：

$$K_{otd} = L_d \sqrt{C_A}.$$

显然，天线储存功率与输出系数平方成正比。

三、机载天线参数测量的特点

机载天线的研究是当飞行器在地面上和在飞行试验时，在飞行器模型上，在飞行器按实物尺寸制作的局部模型上完成的。

电动力学相似原理作为制造天线模型的基础。据此原理，当把天线模型几何尺寸缩小 n 倍时，必须：1) 将试验模型所用频率增加 n 倍；2) 选择制作天线模型所用材料的介电常数和磁导率要与研究天线相同；3) 模型的材料电导率要增加 n 倍。

此时，模型和天线的电参数和辐射特性应是相同的。这些关系可由麦克斯韦方程式的直线性直接得到。

模拟条件对模型材料提出了一定的要求。模型的绝缘材料应象天线系统绝缘体所具有的介电常数。而绝缘材料的导电性应大于 n 倍。后一种要求很难实现。但是，当具有高性能的绝缘材料的情况下，其电导率可以忽略不计，并在模型结构中采用同一介质。

因为实际天线系统的导体具有很高导电性，所以采用的模拟导体材料也很难保证第三个条件。为使因满足不了该条件所引起的误差尽可能小一些，建议在模型上采用铝合金、铜或黄铜。

在实验室条件下，借助模型研究方向图、天线极化特性、电流和电荷在飞行器机体上的分布规律。显然模拟结果在某种程度上与实际天线系统的特性是有区别的。这是因为模型和飞行器的介质损耗不同的缘故。安装模型的支架无疑要影响到试验结果。最终，是由近似模拟模型的材料引起的

差别。

利用辅助天线研究绘制方向图和测量其他参数时，借助辅助天线测量场强或照射试验天线。研究特性品质取决于正确选择试验天线与辅助天线之间的距离。

弱方向性天线之间距离的选择应使测量在波区内进行。如果天线尺寸 L_1 和 L_2 小于二分之一波长 ($L < \lambda/2$)，则最小距离 R_{\min} 应满足如下条件 [31]：

$$R_{\min} \geq \lambda. \quad (1.6)$$

当 $\lambda/2 < L \leq \lambda$ 时，最小距离：

$$R_{\min} \geq 2L, \quad (1.7)$$

式中 L —天线最大线性尺寸。

对于尺寸足够大 ($L > \lambda$) 的方向性天线来说，距离应使波前是平的（图1.2, α ）。

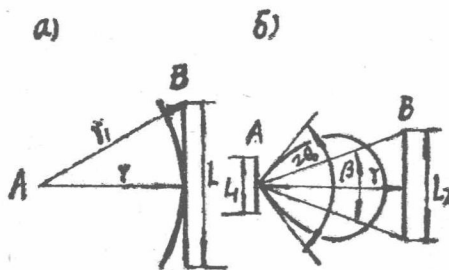


图 1.2 天线之间最小距离的确定：

a—发射天线 A是无方向性的；
B—接收天线； B—天线A和 B 是锐方向的。

在距离不大时，接收天线的波前是半径 r 的球面，因此，在接收天线口径上产生相位差。最大相位差发生在发射

天线 A 到接收天线 B 口径面的光程差最大的各点上。显然，在球面中心射线和周边射线之间将有最大光程差。到接收天线中心的距离等于 r ，而到口径边缘上的距离等于 r_1 。光程差

$$\Delta r = r_1 - r = \sqrt{r^2 + (L/2)^2} - r_0$$

考虑到 $r > \frac{L}{2}$ ，仅限于取根式展开成级数的前两项

$$\Delta r \approx r \left(1 + \frac{1}{8} \frac{L^2}{r^2} \right) - r = \frac{L^2}{8r}.$$

如果允许口径相位差不超过 $\pi/8$ ，则方向图和其他特性的测量误差是不大的。取 $k\Delta r = \pi/8$ （式中波数 $k = 2\pi/\lambda$ ），可得到天线间的最小距离

$$R_{\text{MIN}} = 2 \frac{L^2}{\lambda}. \quad (1.8)$$

对于两个锐方向性天线的最小距离可由其他公式求得。假设有两个天线 A 和 B 之间距离为 r （图 1.2, E）。由天线 A 的中心看到天线 B 时的夹角 $\beta \approx L^2/r$ 。该角应远小于天线 A 方向图的主波瓣宽度，以便天线 B 受到均匀场的照射。因此，应满足条件 $\beta \ll 2\theta_0$ 。式中 $2\theta_0$ —天线 A 方向图的宽度。根据测量参数所允许的误差，取 $\beta = 0.2(2\theta_0)$ ，此时，

$$R_{\text{MIN}} = \frac{L_2}{0.2(2\theta_0)} = 5 \frac{L_2}{2\theta_0}.$$

锐方向性天线的方向图宽度按零辐射方向为限，近似等于 $2\theta_0 \approx \frac{\lambda}{L_1}$ ，因此